

УДК 593.3

© 1992 г. В. В. ВЛАСОВ

## ОБ ОДНОМ ВАРИАНТЕ РАСЧЕТА ТРУБКИ БУРДОНА ЭЛЛИПТИЧЕСКОГО ПОПЕРЕЧНОГО СЕЧЕНИЯ

Как известно, трубка Бурдона представляет собой часть тонкостенной торовой оболочки вращения произвольного угла раствора. Поперечное сечение ее обычно имеет две оси симметрии и может быть эллиптическим, плоскоovalьным и других форм, причем одна из осей симметрии располагается в плоскости трубы. При закреплении одного конца трубы и нагружении ее внутренним давлением (концевые сечения трубы закрыты диафрагмами) она изгибаются и свободный от закрепления конец трубы может иметь весьма большие перемещения. Это свойство широко используется на практике в манометрических приборах, где сама трубка, или пружина Бурдона, является одним из наиболее распространенных типов манометрических упругих элементов. Она также находит применение как исполнительный механизм в роботах-манипуляторах.

Теория расчета трубок Бурдона, основанная на энергетических соотношениях в сочетании с рядом гипотез, представляющих собой обобщение известных допущений балочной теории сопротивления материалов, была разработана В. И. Феодосьевым [1—3].

Здесь получено в аналитической форме безмоментное решение для замкнутой торовой оболочки эллиптического поперечного сечения, нагруженной постоянным внутренним давлением. Показывается, что с использованием этого решения задача равновесия для трубы Бурдона эллиптического поперечного сечения сводится к случаю чистого изгиба при известной величине изгибающего момента, приложенного по концам трубы.

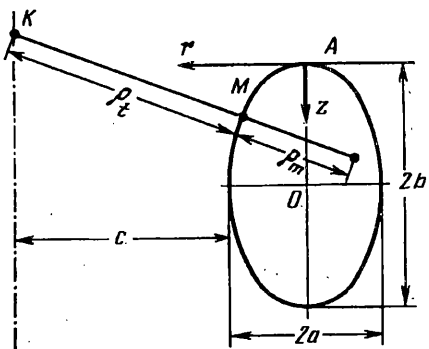
Рассмотрим замкнутую оболочку вращения в форме тора с эллиптическим поперечным сечением. Обозначим через  $R$  и  $\delta$  радиус оси тора и толщину оболочки, через  $a$  и  $b$  — полуоси эллипса поперечного сечения соответственно в плоскости тора и в направлении оси вращения оболочки, через  $c$  — расстояние от внутренней точки поверхности тора до оси вращения (фиг. 1). Введем систему координат  $z, r$  в плоскости поперечного сечения оболочки. Начало координат  $A$  примем в верхней точке сечения, ось  $z$  направим к центру  $O$  сечения, ось  $r$  к оси вращения оболочки.

Уравнение контура поперечного сечения оболочки  $r(z)$  записывается в виде  $r = \pm ab^{-1}(2bz - z^2)^{1/2}$ . Введем безразмерную координату  $\xi$  и параметры  $m$  и  $n$  по формулам

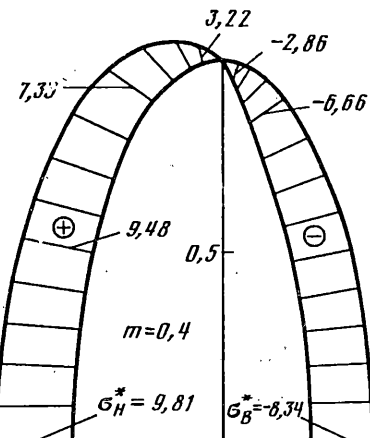
$$\xi = z/b, \quad m = c/b, \quad n = c/b \quad (1)$$

В таком случае зависимости для  $r(z)$  и производных  $r' = dr/dz$  и  $r'' = d^2r/dz^2$  примут вид

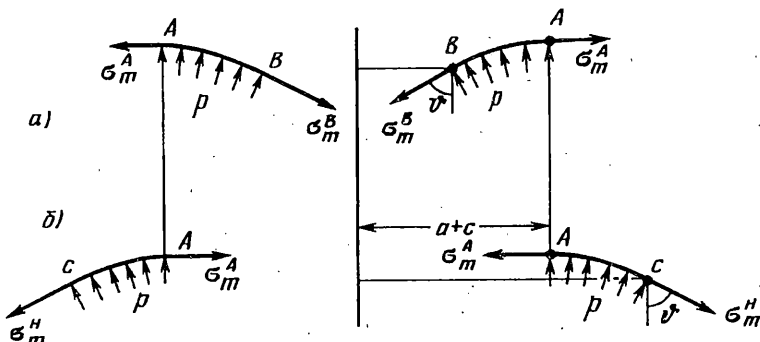
$$r = mb(2\xi - \xi^2)^{1/2}, \quad r' = m(1 - \xi)/(2\xi - \xi^2)^{1/2}, \\ r'' = -m/b(2\xi - \xi^2)^{1/2} \quad (2)$$



Фиг. 1



Фиг. 3



Фиг. 2

Знаки в формулах отвечают положительным значениям  $r$ , что соответствует внутренней части контура поперечного сечения оболочки. Для наружной части оболочки  $r < 0$ , знаки должны быть изменены на обратные.

Для радиуса кривизны меридионального сечения в произвольной точке  $M$  контура имеем выражение  $\rho_m = -(1 + r'^2)^{3/2}/r''$ . С учетом (2) получим

$$\rho_m = a^{-1}b^2 [2\xi - \xi^2 + a^2b^{-2}(1 - \xi)^2]^{3/2}. \quad (3)$$

Другой главный радиус кривизны оболочки вращения  $\rho_t$  определяется как расстояние по нормали к поверхности от точки  $M$  контура с координатами  $z$ ,  $r$  до оси вращения, точки  $K$  с координатами  $z^*$ ,  $r^*$  (фиг. 1). Вектор касательной к контуру сечения оболочки в точке  $M$  имеет составляющие  $dz$ ,  $dr$ , вектор нормали — составляющие  $z^* - z$ ,  $r^* - r$ . Вследствие ортогональности этих векторов их скалярное произведение равно нулю:

$$(z^* - z) dz + (r^* - r) dr = 0 \quad (4)$$

Величина радиуса кривизны в произвольной точке  $M$  поверхности оболочки определяется выражением

$$\rho_t^{B,H} = \mp [(z^* - z)^2 + (r^* - r)^2]^{1/2}$$

Здесь знак минус принимается для радиуса  $\rho_t^B$  внутренней части оболочки,  $r > 0$ , знак плюс для радиуса  $\rho_t^H$  наружной части,  $r < 0$ . Последнее следует из того, что во внутренней части оболочки гауссова кривизна  $1/\rho_t \rho_m$  отрицательна,

а во внешней части она положительна. Принимая во внимание (2), (4) и, что  $r^* = a + c$ , найдем

$$\rho_t^B = -\frac{Ab}{B} [m + n - m(2\xi - \xi^2)^{1/2}], \quad \rho_t^H = \frac{Ab}{B} [m + n + m(2\xi - \xi^2)^{1/2}] \quad (5)$$

$$A = [2\xi - \xi^2 + m^2(1 - \xi)^2]^{1/2}, \quad B = (2\xi - \xi^2)^{1/2}$$

На плоскости симметрии оболочки  $\xi = 1$  имеем  $\rho_t^B = -c$ ,  $\rho_t^H = 2a + c$ . Окружности на поверхности оболочки, отвечающие значениям координат  $\xi = 0$  и  $\xi = 2$ , являются асимптотическими линиями. На них гауссова кривизна оболочки обращается в нуль.

Меридиональные напряжения  $\sigma_m$  в оболочке вращения находятся из условия равновесия в смысле проекций на ось  $z$  для части оболочки, образованной вращением произвольной дуги контура  $AB$ , определенной на участке изменения переменной  $r$  от значения  $r = 0$  до произвольного значения  $|r| < a$  (фиг. 2):

$$\pi r [(a + c)^2 - (a + c - r)^2] = 2\pi\sigma_m\delta(a + c - r)\cos\theta$$

Принимая во внимание зависимость  $\cos\theta = (1 + r'^2)^{-1/2} = B/A$ , с учетом (1), (2) определим меридиональные напряжения  $\sigma_m^B$  и  $\sigma_m^H$  соответственно для внутренней и наружной частей оболочки

$$\sigma_m^B = \frac{mAbp}{2\delta(m + n - mB)} [2(m+n) - mB], \quad \sigma_m^H = \frac{mAbp}{2\delta(m + n + mB)} [2(m+n) + mB]$$

Эти напряжения в плоскости симметрии тора и на асимптотических линиях принимают значения

$$\sigma_m^B \Big|_{\substack{\xi=0 \\ \xi=2}} = \sigma_m^H \Big|_{\substack{\xi=0 \\ \xi=2}} = \frac{pa^2}{b\delta}, \quad \sigma_m^B \Big|_{\xi=1} = \frac{pa}{2\delta} \frac{a+2c}{c}, \quad \sigma_m^H \Big|_{\xi=1} = \frac{pa}{2\delta} \frac{3a+2c}{2a+c}$$

Кольцевые напряжения  $\sigma_t$  в оболочке найдем из уравнения Лапласа

$$\sigma_t = \rho_t(p/\delta - \sigma_m/\rho_m) \quad (6)$$

С учетом (3), (5), (6) для кольцевых напряжений  $\sigma_t^B$  и  $\sigma_t^H$  соответственно во внутренней и наружной частях оболочки получим зависимости

$$\sigma_t^B = \sigma_0\sigma_B^*, \quad \sigma_t^H = \sigma_0\sigma_H^* \quad (7)$$

$$\sigma_B^* = -\frac{1}{AB} \{2(m + n - mB)A^2 - m^2[2(m + n) - mB]\}, \quad \sigma_0 = Pb/2\delta \quad (8)$$

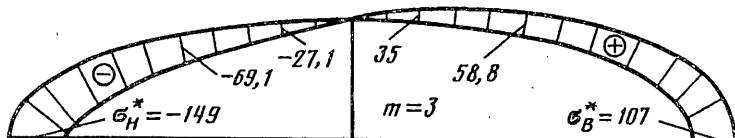
$$\sigma_H^* = \frac{1}{AB} \{2(m + n - mB)A^2 - m^2[2(m + n) + mB]\}$$

Множитель  $\sigma_0$  отвечает постоянному значению кольцевого напряжения в торовой оболочке круглого поперечного сечения радиуса  $b$ , то есть при  $m = 1$ . Функция  $\sigma^*(\xi)$  представляет собой безразмерное кольцевое напряжение. В характерных точках поперечного сечения тора

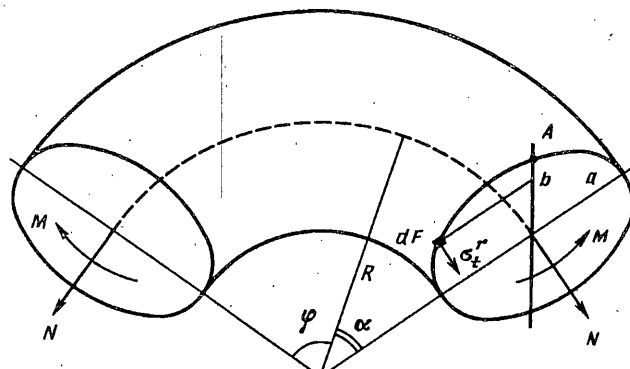
$$\sigma_t^B \Big|_{\substack{\xi=0 \\ \xi=2}} = \sigma_t^H \Big|_{\substack{\xi=0 \\ \xi=2}} = \sigma_0 m^2, \quad \sigma_t^B \Big|_{\xi=1} = \sigma_0 [m^3 + 2n(m^2 - 1)]$$

$$\sigma_t^H \Big|_{\xi=1} = \sigma_0 [m(4 - 3m^2) + 2n(1 - m^2)]$$

На асимптотических линиях оболочки, то есть при  $\xi = 0$  и  $\xi = 2$ , в формулах



Фиг. 4



Фиг. 5

(8) имеется неопределенность, которая устраняется соответствующим предельным переходом.

Согласно (7), (8) в оболочке с сечением, вытянутым в направлении оси симметрии,  $m < 1$ , возникают большие кольцевые напряжения, причем наружная часть тора оказывается растянутой, а внутренняя сжатой. Если же сечение вытянуто в плоскости тора,  $m > 1$ , то, наоборот, наружная часть оболочки будет сжата, а внутренняя растянута. Изменение безразмерных кольцевых напряжений  $\sigma^*$  вдоль контура сечения для двух оболочек с параметрами  $m = 0,4$ ,  $n = 5$  ( $a < b$ ) и  $m = 3$ ,  $n = 5$  ( $a > b$ ) представлено на фиг. 3, 4 в форме графиков.

Следует также отметить, что приведенное здесь безмоментное решение носит приближенный характер. Это, в частности, выражается в том, что при непрерывном изменении напряжений при переходе через асимптотические линии  $\zeta = 0$  и  $\zeta = 2$  компоненты перемещений терпят разрыв на этих линиях, что в действительности не имеет места. Более правильные результаты можно получить, если воспользоваться моментной теорией оболочек. Однако сравнение полученных результатов расчета для торовой оболочки, нагруженной постоянным давлением, в случае симметричной деформации с соответствующими результатами, определенными численными методами по моментной теории другими авторами (В. И. Мяченков, О. Н. Золотов) показало, что погрешность в определении мембранных напряжений по моментной теории для тонких оболочек относительно невелика.

Как видно из графиков, распределение кольцевых напряжений  $\sigma^*$  в поперечном сечении оболочки можно привести к продольной силе  $N$  и изгибающему моменту  $M$  в плоскости тора, причем последний при значениях  $m$ , значительно отличающихся от единицы, достигает весьма большой величины. Будем разыскивать эти величины в виде

$$N = N_B + N_H, \quad M = M_B + M_H \quad (9)$$

$$N_B = 2 \int_0^1 \sigma_t^B r dF, \quad N_H = 2 \int_0^1 \sigma_t^H r dF \quad (10)$$

$$M_B = 2 \int_0^1 \sigma_t^B r dF, \quad M_H = 2 \int_0^1 \sigma_t^H r dF, \quad dF = \delta b (1 + r'^2)^{1/2} d\zeta$$

Здесь  $dF$  представляет собой элементарную площадь поперечного сечения оболочки. При этом слагаемыми  $N_B$ ,  $M_B$  и  $N_H$ ,  $M_H$  соответственно определяются части продольной силы и момента от напряжений  $\sigma_r$ , распределенных по внутренней и наружной частям оболочки.

Принимая во внимание зависимости (2), (7), преобразуем интегралы (10) к виду

$$\begin{aligned} N_{B,H} &= -pb^2 \int_0^1 \frac{1}{B^2} \{2(m+n \mp mB) A^2 - m^2 [2(m+n) - mB]\} d\xi \\ M_{B,H} &= -pmb^3 \int_0^1 \frac{1}{B} \{2(m+n \mp mB) A^2 - m^2 [2(m+n) - mB]\} d\xi \end{aligned} \quad (11)$$

Здесь верхние знаки соответствуют выражениям для  $N_B$  и  $M_B$ , а нижние — для  $N_H$  и  $M_H$ . Введем новую переменную  $\gamma$  по формуле  $1 - \xi = \sin \gamma$ . Учитывая зависимости  $d\xi = -\cos \gamma d\gamma$ ,  $2\xi - \xi^2 = \cos^2 \gamma$  и производя интегрирование выражений (11) по  $\gamma$  в пределах от  $\pi/2$  до нуля, на основании (9) получим

$$N = \pi r a b, \quad M = \pi p b^3 m (m+n)(m^2-1) \quad (12)$$

Согласно (12) продольная сила  $N$  определяется в виде произведения внутреннего давления  $p$  на площадь поперечного сечения, ограниченную контуром оболочки, что и следовало ожидать. Величина же изгибающего момента  $M$  зависит от значений геометрических параметров  $m$  и  $n$  (1). При  $m > 1$ , то есть для поперечного сечения, вытянутого в плоскости симметрии оболочки, момент  $M$  положителен и имеет направление показанное на (фиг. 5). При  $m < 1$ , сечение вытянуто в направлении оси вращения оболочки, момент  $M$  отрицателен и его направление изменяется на обратное.

Рассмотрим теперь трубку в виде части тора вращения произвольного раствора  $\varphi$  (фиг. 5). Считаем, что ее концы  $\alpha = 0$  и  $\alpha = \varphi$  закрыты днищами, а сама трубка нагружена постоянным давлением  $p$ . При определении ее напряженного состояния можно исходить из приведенного выше решения для замкнутой оболочки. Мысленно выделим из замкнутой оболочки участок с центральным углом, равным  $\varphi$ . В таком случае по концам этого участка необходимо приложить силу  $N$  и момент  $M$  (12), соответствующие решению для симметричной деформации замкнутой трубы. В действительности, для трубы в виде части кольца сила  $N$  в ее поперечных сечениях возникает, что обусловлено наличием днищ по ее концам. Моменты же  $M$  в ней будут отсутствовать, поскольку по концам этой трубы они не приложены. Этого результата можно достигнуть, если на решение задачи для симметричной деформации наложить достояние чистого изгиба трубы, определяемое концевыми моментами  $M$ , равными по величине (12), но обратного знака. При  $m > 1$  поперечное сечение растянуто в плоскости трубы, моменты  $M$  увеличивают кривизну трубы, а при  $m < 1$  сечение растянуто из плоскости трубы, моменты  $M$  уменьшают кривизну, что соответствует действительности. Для трубы с круглым поперечным сечением ( $m = 1$ ), момент  $M$  обращается в нуль и изгиба трубы не происходит. Таким образом, расчет трубы Бурдона эллиптического поперечного сечения с произвольным углом раствора, нагруженной постоянным давлением, сводится к случаю чистого изгиба известным моментом.

В заключение отметим, что для горовой оболочки в виде части кольца чистый изгиб в плоскости оболочки, как известно, см. [1—3], представляет собой весьма сложную задачу. Соответствующий расчет следует производить на основе моментной теории с учетом поперечных изгибающих моментов в оболочке. Жесткость при изгибе кривой тонкостенной трубы зависит от ее начальной кривизны и может быть значительно меньше жесткости, рассчитанной по формулам сопротивления материалов, что приводит к большим перемещениям свободного от закрепления конца трубы, значительно превосходящим по своей величине перемещения, вычисленные на основе элементарной теории.

## СПИСОК ЛИТЕРАТУРЫ

1. Феодосьев В. И. Расчет тонкостенной трубы Бурдона эллиптического сечения энергетическим методом. М.: Оборонгиз, 1940. 320 с.
2. Феодосьев В. И. Упругие элементы точного приборостроения. М.: Оборонгиз, 1949. 344 с.
3. Андреев Л. Е. Упругие элементы приборов М.: Машгиз, 1962. 445 с.

Москва

Поступила в редакцию  
18.VI.1992